Vol. 57 No. 5 Oct. 2025

DOI:10.16356/j.1005-2615.2025.05.012

基于改进 EEMD 和 PSO-SVM 的永磁同步电机均匀 退磁故障诊断

熊文琪,张奕珂,王尧尧

(南京航空航天大学机电学院,南京 210016)

摘要:基于电流信号提供了一个新的不同均匀退磁程度的故障诊断方法,研究了永磁同步电机(Permanent magnet synchronous motors, PMSMs)的均匀退磁故障诊断方法。提出了一种基于改进的集合经验模式分解 (Ensemble empirical mode decomposition, EEMD) 算法和粒子群优化-支持向量机 (Particle swarm optimization-support vector machine, PSO-SVM)的故障诊断方法。首先利用改进EEMD对采集的定子电流信号进行降噪和重构。其次计算处理后数据的分形盒维数作为故障特征参数。最后通过PSO-SVM处理特征参数诊断均匀退磁故障。通过解析模型仿真实验和原型实验表明,该方法能准确识别永磁同步电机均匀退磁故障,平均识别率超过96%,证明了本文故障诊断方法的有效性。

关键词:永磁同步电机;故障诊断;均匀退磁;集合经验模式分解;分形盒维数;支持向量机

中图分类号:TP391.5 文献标志码:A 文章编号:1005-2615(2025)05-0912-12

Diagnosis of Uniform Demagnetization Faults in Permanent Magnet Synchronous Motors Based on Improved EEMD and PSO-SVM

XIONG Wenqi, ZHANG Yike, WANG Yaoyao

(College of Mechanical and Electrical Engineering, Nanjing University of Aeronautics & Astronautics, Nanjing 210016, China)

Abstract: This paper focuses on the study of uniform demagnetization fault diagnosis in permanent magnet synchronous motors (PMSMs) and proposes a novel method based on current signals for diagnosing faults at different degrees of uniform demagnetization. An improved ensemble empirical mode decomposition (EEMD) algorithm combined with particle swarm optimization-support vector machine (PSO-SVM) is introduced for fault diagnosis. First, the improved EEMD is employed to denoise and reconstruct the collected stator current signals. Then, the fractal box dimension of the processed data is calculated as the fault feature parameter. Finally, PSO-SVM is utilized to diagnose uniform demagnetization faults based on the extracted feature parameters. Simulation experiments and prototype testing demonstrate that the proposed method accurately identifies uniform demagnetization faults in PMSMs, achieving an average recognition rate of over 96%, thus validating the effectiveness of the proposed fault diagnosis approach.

Key words: permanent magnet synchronous motor (PMSM); fault diagnosis; uniform demagnetization; ensemble empirical mode decomposition (EEMD); fractal box-counting dimension; support vector machine (SVM)

基金项目:国家自然科学基金面上项目(52175097)。

收稿日期:2024-09-18;修订日期:2024-12-12

通信作者:王尧尧,男,副教授,博士生导师,E-mail:yywang_cmee@nuaa.edu.cn。

引用格式:熊文琪,张奕珂,王尧尧. 基于改进 EEMD 和 PSO-SVM 的永磁同步电机均匀退磁故障诊断[J]. 南京航空航天大学学报(自然科学版),2025,57(5):912-923. XIONG Wenqi, ZHANG Yike, WANG Yaoyao. Diagnosis of uniform demagnetization faults in permanent magnet synchronous motors based on improved EEMD and PSO-SVM[J]. Journal of Nanjing University of Aeronautics & Astronautics (Natural Science Edition),2025,57(5):912-923.

永磁同步电机(Permanent magnet synchronous motors, PMSMs)相比于其他电机具有高效率运行、高精度扭矩控制、结构紧凑、维护要求低以及工作噪音低等显著优点,被广泛用于工业化、机器人、电动汽车和家用电器等多个领域^[14]。退磁故障是永磁同步电机独有的故障。由于外部磁场、磁体损坏、高温环境、定子电流过大和磁体自然老化等影响导致永磁体可能发生不可逆退磁^[57],这会影响电机的性能,导致噪音、振动、输出扭矩降低和转速不稳。最终会导致高精度机械的输出性能下降,影响产品加工精度。因此,在工业应用中需要一种有效的故障诊断方法来准确识别退磁故障的发生。

永磁同步电机的退磁故障诊断方法主要有高 频信号注入法[8-9]、模型驱动法[10-11]和数据驱动 法[12-13]3种基本方法。基于高频信号注入的诊断方 式需要在电机停机状态下,施加外部磁场改变电机 内部磁路状态,使定子感应电流发生波动变化,从 而实现退磁故障的检测[14]。但是高频信号注入法 需要借助外部测试设备,对电机进行拆卸检查,无 法对电机进行实时诊断并发挥故障早期预警作用。 基于模型驱动的诊断方法通常分为两类。(1)基于 Maxwell 和 Simplorer 软件进行有限元分析。Melecio等[15]利用二维有限元模型预测不同 PMSM 退 磁故障的电流信号频谱特征模式,并用于区分不同 模式的永磁体退磁故障以及这些故障在不同严重 程度下的表现。尽管有限元分析方法有很高的仿 真精度,但是过于费时耗力,占用了大量计算资源。 (2)通过 MATLAB/Simulink 软件创建数学模型的 分析方式。Liu等[16]深入分析不同坐标下气隙偏心 率与电感之间的关系,开发了内部PMSM高频电感 分析模型,可检测和区分转子偏心和永磁体部分退 磁。Quintal-Palomo等[17]使用有限元软件和Simulink联合仿真,并与实验结果对比验证仿真结果与 实验测量结果一致,使用仿真模型模拟故障获取相 电流、角速度反馈和电流等数据进行退磁故障诊 断。丁石川等[18]利用Simplorer、Simulink和Maxwell联合仿真建立了永磁同步电机均匀退磁故障诊 断仿真模型,分析故障后径向气隙磁密的变化规 律,结合定子电流信号实现均匀退磁故障的有效诊 断。该方法基于数学模型,不能反映电机的真实工 作状态,在实际应用环境中的实用性还有待验证。

基于数据驱动的诊断方法侧重于对电机信号数据的采集、处理与分析,通过深入挖掘信号数据中隐藏的故障特征信息,实现对电机故障的有效诊断。常用于处理和分析永磁同步电机退磁故障的信号有电压[19-21]、电流[22-23]和磁信号[24-26],常用频域

和时频域方法对这些信号进行分析诊断永磁同步 电机的退磁故障[27]。Haddad等[22]利用定子电流 和电压特征分析方法测试了局部退磁、静态偏心和 匝间短路3种故障,并对相电压和电流信号进行快 速傅里叶变换(Fast Fourier transform, FFT)处理。 Yang等[28]将振动波形和振动频率经过FFT成功 应用于检测局部退磁和匝间短路故障。使用FFT 等频域方法需要在故障诊断精度和最小计算工作 量之间做到平衡,对非平稳信号、瞬态特征和时变 频率分析能力较弱[29-30]。因此时频域方法越来越 多地被应用于检测退磁故障。常用的时频域分析 方法有短时傅里叶变换(Short-time Fourier transform, STFT)、小波变换(Wavelet transform, WT) 和希尔伯特黄变换(Hilbert-Huang transform, HHT)等。Eker等[30]采集恒速状态下的永磁同步 电机电流信号作为输入数据,通过卷积神经网络 (Convolutional neural network, CNN)模型进行特 征提取和故障诊断。结果表明,该CNN模型在诊 断永磁同步电机局部退磁故障方面有平均99.92% 的成功率。Delgado等[31]利用连续小波变换对暂态 电流信号进行预处理,确定分形盒维数并提取损伤 特征,该方法在检测非稳态运行下的PMSM时表现 出良好的应用效果。此外,已有大量人工智能算法 应用于电机退磁故障诊断的案例。Chang等[32]将自 动编码器和K均值聚类算法相结合,对PMSM局部 退磁故障进行了诊断,并通过实验验证了该方法的 准确性,准确率达到96%。Song等[33]提出了一种融 合S变换和粒子群优化-最小二乘支持向量机相结 合的针对局部退磁故障的诊断手段,该方法具有较 高的灵敏度和准确度,准确率达到100%。Ullah 等[34]提取了PMSM振动信号和定子电流,使用可视 化几何组网络进行处理,并将特征信号转换成图 像,诊断准确率达到96.65%。Huang等[35]基于磁泄 漏信号,通过小波散射卷积网络(Wavelet scattering convolution network, WSCN)提取二维磁泄漏信号 图像特征,采用半监督深度规则(Semi-supervised deep rule-based, SSDRB)分类器实现永磁同步电机 的均匀退磁故障诊断。

综上,目前国内外学者对退磁故障的研究集中在局部退磁故障,然而均匀退磁故障特性与局部退磁故障不同。发生均匀退磁故障后,电机仍能维持对称运行,因此基于电机输出信号的局部退磁故障诊断方法在应对均匀退磁故障时可能失效。本文为均匀退磁故障的永磁同步电机建立数学模型,基于数学模型提出一种退磁故障诊断方法。利用改进集合经验模式分解(Ensemble empirical mode decomposition, EEMD)对采集的定子电流信号进

行降噪重构,采用分形盒维数算法提取均匀退磁故障的特征参数,采用粒子群优化-支持向量机(Particle swarm optimization-support vector machine, PSO-SVM)建立故障诊断模型。最后进行实验采集数据验证了该方法的有效性。

1 永磁同步电机均匀退磁故障模型

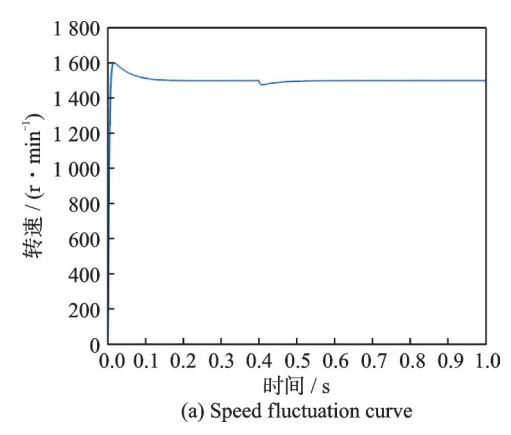
1.1 解析模型

本文构建了一个包含电源逆变、控制策略及永 磁同步电机本身的全面控制驱动系统模型。在此 基础上,首先基于 dq 坐标系对永磁同步电机模型 进行了构建,进而深入开发了相应的控制模型。该 控制模型主要运用PI调节器进行永磁同步电机的 矢量控制,并采用了 i_d = 0的控制策略。矢量控制 的核心在于对定子电流矢量的精准调控,通过调整 磁链的幅值及其方向,可以有效地实现对永磁同步 电机的精确控制。根据永磁同步电机矢量控制系 统的运行机制,在Simulink中建立了仿真模型组 件,包括永磁同步电机模块、坐标转换模块、逆变器 模块和速度控制器模块等。将这些模块集成在一 起,形成一个完整的基于 PI 控制器的永磁同步电 机矢量控制系统仿真模型。采用空间矢量脉宽调 制控制策略,通过对参考电压的精确调控实现电机 理想的圆形磁链轨迹。设置三相永磁同步电机仿 真模块的相关磁链参数实现不同退磁程度的仿真 实验。

1.2 仿真结果

仿真参数设置为电机转速 1 500 r/min, 仿真时间为 1 s, 电机启动时初始负载为 3 N•m, 运行到 0.4 s时增加到 6 N•m, 采样周期设置为 10 μs。最终成功获得了仿真运行过程中的转速波动曲线、输出扭矩波动曲线和定子电流波动曲线, 如图 1 所示。

仿真模型展现出较好的响应速度和调节性能,有效验证了所构建模型的精确性。通过逐步降低转子主磁通数值,同时确保其他仿真参数和条件维持不变,从而实现退磁故障的有效模拟。



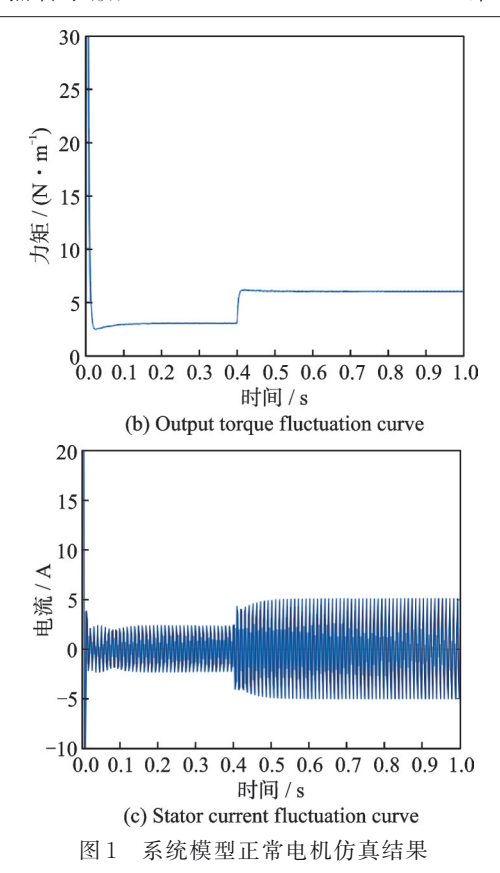
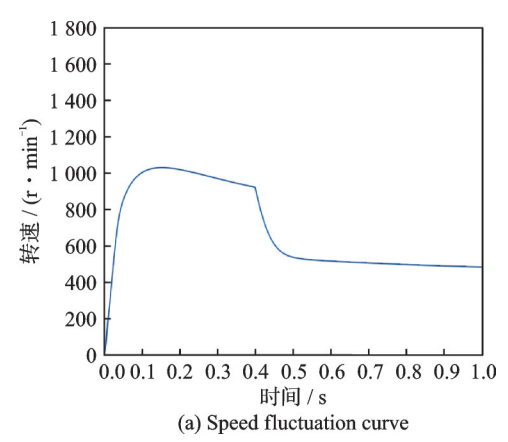


Fig.1 Simulation results of the system model for normal motor

为探究电机在不同退磁程度下的输出信号变化规律,分别对20%、40%、60%和80%这4种不同程度退磁故障进行仿真。由于电机在启动过程中会产生过电流现象,进而引发去磁磁场,致使电机内部短暂退磁,待电机稳定运转后方能恢复正常状态,故在仿真实验中主要针对电机稳态运行时的数据进行处理和分析。图2为80%均匀退磁故障仿真得到的输出转矩、转速和定子电流结果。对比正常电机仿真结果,在80%的均匀退磁故障下,电机的转速和输出扭矩明显下降,定子电流的幅值显著增加,且波形紊乱,这些现象都加剧了电机运行的不稳定性。

由于电机在80%均匀退磁故障发生后无法正



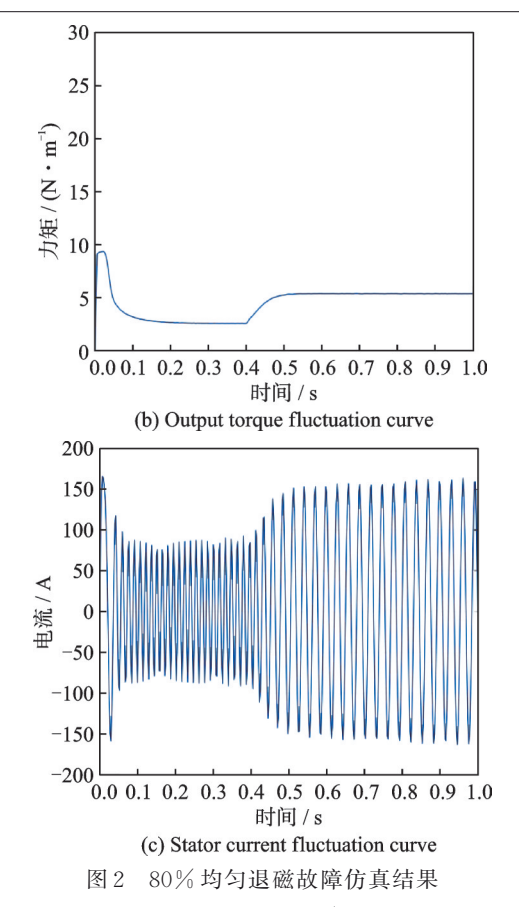
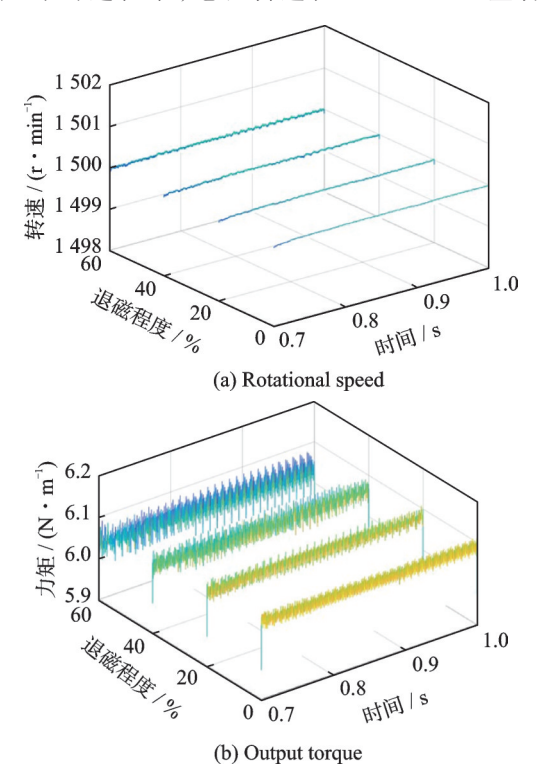


Fig.2 Simulation results of an 80% uniform demagnetization fault

常运行,可依靠肉眼识别,对其进行研究意义不大。在同一运行条件下,对正常、20%、40%和60%均匀退磁故障程度下的转速、输出扭矩和定子电流分别进行比较,如图3所示。在退磁程度逐渐加深的过程中,电机转速在1500 r/min左右小



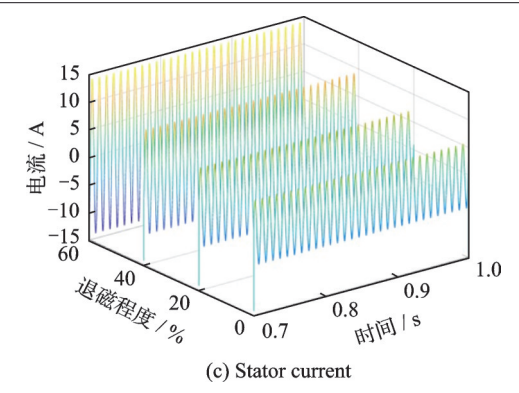


图 3 不同退磁故障程度下的转速、输出扭矩和定子电流 对比图

Fig.3 Comparison of speed, output torque, and stator current under different degrees of demagnetization faults

幅波动,输出扭矩的幅值波动明显增强,基本保持在6 N•m到6.1 N•m范围内,但是定子电流幅值变化最为显著,由初始的5 A增大至15 A。因此后文选择定子电流作为均匀退磁故障诊断信号。由于永磁同步电机的电磁转矩与电流矢量和永磁体磁链的乘积成正比,有

$$T_{\rm e} = \frac{3P}{4} \left(\psi_{\rm PM} i_q + (L_d - L_q) i_d i_q \right) \eqno(1)$$

式中:P为电机极数, ϕ_{PM} 为永磁体磁链, L_a 为d轴的电感, L_q 为q轴的电感, i_d 为d轴的电流, i_q 为q轴的电流。在模拟均匀退磁故障模型中,理论电流值应与永磁体磁链的乘积为一恒定值,计算的理论电流幅值大小如图 4所示。随着退磁程度的增加,理论电流幅值与仿真电流幅值误差增大,在退磁程度为 60% 时,幅值误差达到最大 5.5%,总体误差较小,验证了均匀退磁故障诊断模型的有效性。

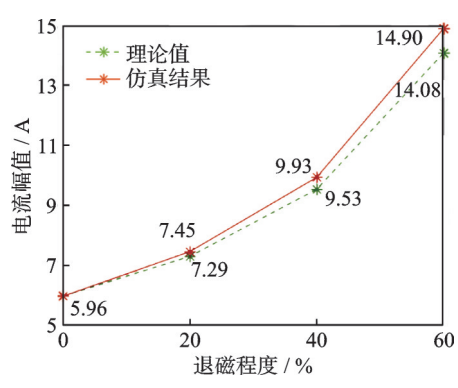


图 4 电流幅值与退磁程度关系图

Fig.4 Relationship between current amplitude and degree of demagnetization

2 故障特征提取

2.1 改进 EEMD 算法

EEMD算法通过在原信号中引入一组均值为 零的白噪声序列,随后对新信号序列的所有子信号 进行经验模态分解(Empirical mode decomposition, EMD)操作,每个子信号可分解为多个几乎正交的本征模态函数 (Intrinsic mode functions, IMFs)。对多组分解得到的 IMFs进行集合平均处理,可有效地改善 EMD模态混叠现象 [36]。在信号的 EEMD分解过程中,高频 IMF分量通常被视为噪声,这些无效的 IMF分量去除后对剩下的 IMF分量重构就实现了信号的降噪。

针对EEMD降噪过程中IMF真实分量选取的难题,基于文献[37]可知,经过滤波分解处理后的白噪声序列的各IMF分量展现出1个稳定的特性,即其能量密度与平均周期之积维持恒定值。基于白噪声分解后IMF分量的特性,提出了一种改进EEMD分解算法,旨在实现IMF分量的自动筛选。

对于包含随机白噪声 $\{x_1(t), x_2(t), \dots, x_m(t)\}$ 的信号集进行 EEMD 分解。每个子信号 $x_i(t)$ 得到 $M ag{M}$ IMF 分量,为每个分量计算一个参数 P_i ,有

$$P_i = E_i \times \overline{T_i} \tag{2}$$

式中: E_j 为第j个 IMF 分量的能量密度; $\overline{T_j}$ 为第j个 IMF 分量的平均周期。它们的计算公式为

$$E_{j} = \frac{1}{N} \sum_{i=1}^{N} [A_{j}(i)]^{2}$$
 (3)

$$\overline{T}_{j} = \frac{2N}{O_{j}} \tag{4}$$

式中:N为每一个 IMF 分量的采样点数, A_j 为第j个 IMF 分量的振幅大小, O_j 为第j个 IMF 分量的极值点。

按照式(5)计算筛选系数 $r_i(j \ge 2)$,有

$$r_{j} = \left| \frac{P_{j} - \frac{1}{j} \sum_{i=1}^{N} P_{i}}{\frac{1}{j} \sum_{i=1}^{N} P_{i}} \right|$$
 (5)

当 $r_j \ge 1$ 时,可以推断第j个 IMF的 P_j 相较于前j—1个 IMF的 P_j 平均值呈现一个倍增趋势,前j—1个 IMF分量的能量密度与其平均周期之积为一恒定值。前面j—1个 IMF分量主要代表噪声成分,将其剔除。为了提取更纯净的信号特征,同时去除了作为趋势项的余项。为了实现对原始信号的有效筛选处理,利用剩余的 IMF 分量对信号进行重构,这一改进 EEMD 分解方法的总体流程如图 5 所示。

基于均匀退磁故障仿真模型,获取正常状态、20%退磁、40%退磁和60%退磁状态下的定子电流信号,利用改进EEMD分解法对电流信号进行分析处理,选取分解次数为100,幅值为0.2,产生了12阶IMF分量。图6为60%退磁下的IMF分量图,4种状态的IMF分量图中,IMF1~4为EEMD分解后的高频趋势项,IMF5~12为分解后

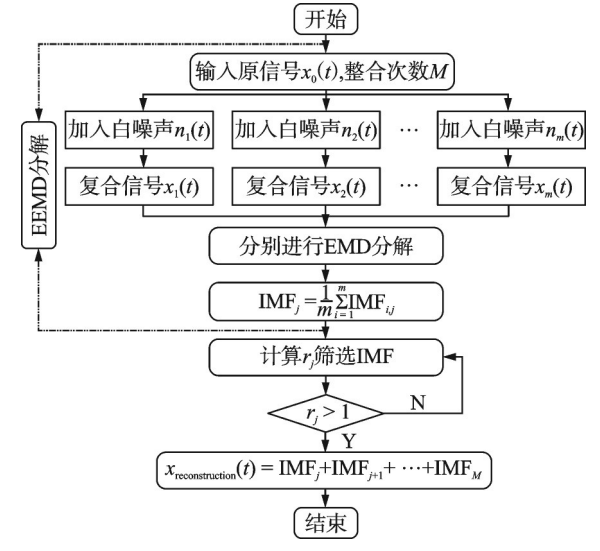


图 5 改进 EEMD 分解的流程图

Fig.5 Decomposition flow chart for improved EEMD

的低频趋势项。计算 IMF 分量的筛选系数,4 种状态的 IMF1~IMF4 分量筛选系数 r_i 的值均小于 1,因此将其作为噪声去除,对剩余的 IMF5~12 分量保留,重构为新的电流信号。

对信号进行低通滤波作为对比,截止频率设置 为电流基频的5倍,即500 Hz以覆盖电流基频及主 要谐波。同时采用主流的皮尔逊相关系数法,设定

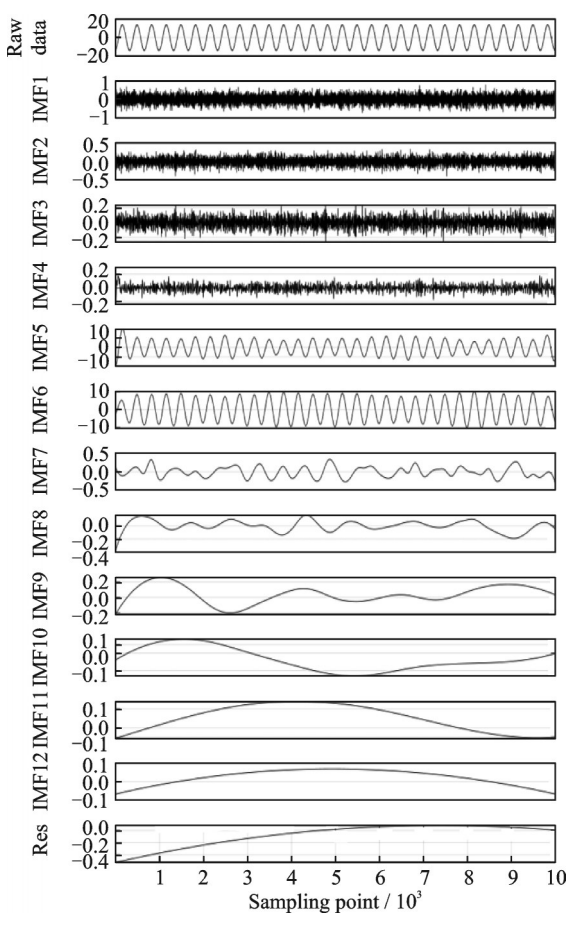


图 6 60% 退磁状态下的 IMF 分量图

Fig.6 IMF components under 60% demagnetization

筛选阈值为取最大相关系数的10%。对小于筛选 阈值的 IMF 剔除,对剩下的 IMF 分量重构为新的 信号。图7为3种方法处理后的60% 退磁状态下 的电流重构信号。对比原始信号,3种方法处理后 的信号波动均大幅度减小,峰值的显示准确性均有 加强。

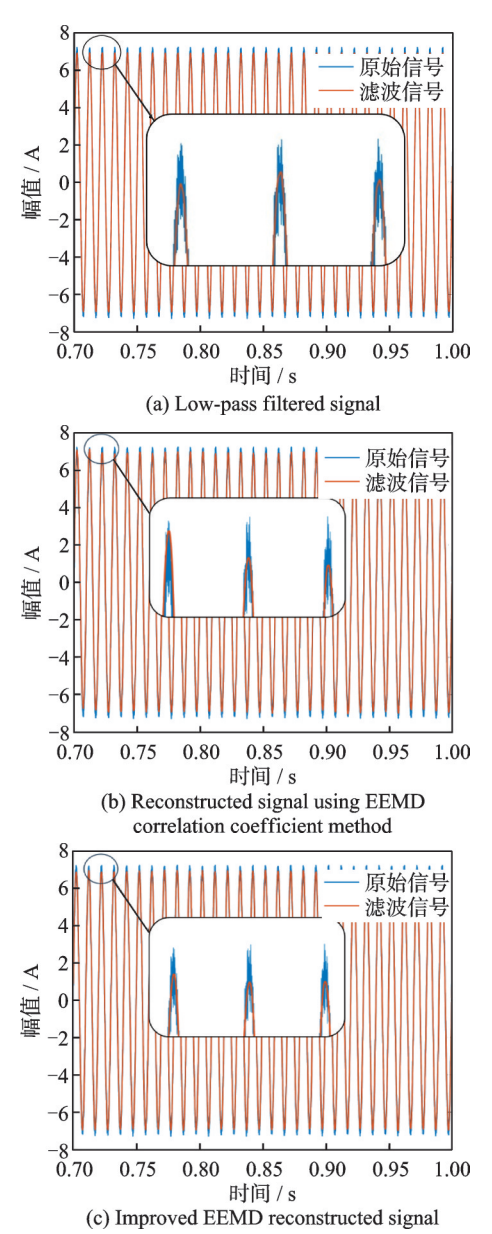


图 7 60% 退磁状态下电流信号重构对比图 Fig.7 Comparison of reconstructed current signals under 60% demagnetization

对 4 种状态下的定子电流信号分别进行EEMD相关系数法、改进EEMD法和低通滤波后,发现两者方法的重构信号峰值基本相同,但是EEMD相关系数法重构的信号峰值范围在6.87~7.12 A,低通滤波信号峰值在6.88~6.98 A,其波动均大于改进EEMD重构的信号峰值范围6.87~6.95 A,并且低通滤波信号的波峰存在波动,波峰区域波形不对称,说明仍存在一定噪声成分,增加

了信号的复杂性,对后续信号的故障特征值计算存在干扰。由于改进EEMD重构信号有效的减少极值的出现,降低了对一些中间分量的选取误判,其在处理信号时表现出更高的精确性和稳定性,有助于更准确地反映信号的原始特征。

2.2 故障特征值

分形几何理论为故障信号的非线性、非平稳特征提取创新性方法,相比传统的特征提取方式,可以更加精准地捕捉信号复杂特征。设离散信号y(i)属于集合Y,而Y则是n维欧式空间R"上的闭集。使用尽可能细致的 ε 网格对R"进行划分,统计Y的网格数量 N_{ε} 。将 ε 网格逐步放大至 $k\varepsilon$ 网格,其中k为正整数。在每次放大的过程中,记录Y在离散空间上的网格计数 $N_{k\varepsilon}$,有

$$P(k\varepsilon) = |\max\{y_{k(i-1)+1}, y_{k(i-1)+2}, \cdots, y_{k(i-1)+k+1}\}| - |\min\{y_{k(i-1)+1}, y_{k(i-1)+2}, \cdots, y_{k(i-1)+k+1}\}|$$
(6)

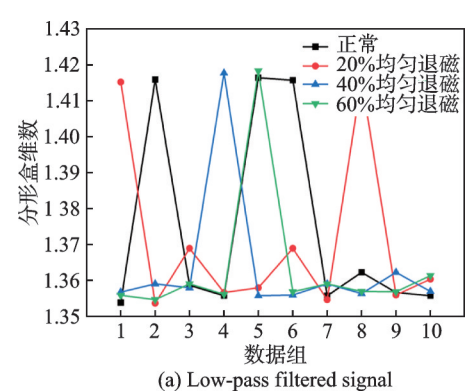
$$N_{k\varepsilon} = \frac{P(k\varepsilon)}{\varepsilon} + 1 \tag{7}$$

式中: $i=1,2,\cdots,N/k$,其中N为采样点数,k=1,2, $\cdots,M,M < N$,且 $N_{kc} > 1$ 。选取 $\lg(k\varepsilon)$ 与 $\lg N_{kc}$ 双对数曲线中线性表现较佳的一段作为无标度区,区间的起始点和终止点分别标记为 k_1 和 k_2 ,计算分形盒维数,有

 $\dim_{B} =$

$$-\frac{(k_{2}-k_{1}+1)\sum \lg k \lg N_{k\epsilon}-\sum \lg k \sum \lg N_{k\epsilon}}{(k_{2}-k_{1}+1)\sum \lg^{2}k-\left(\sum \lg k\right)^{2}}$$
(8)

将计算得到的分形盒维数作为PMSM发生均匀退磁故障的故障特征参数。对正常、20%退磁、40%退磁和60%退磁4种状态进行仿真,每种状态得到10组定子电流信号数据。对定子电流数据分别使用低通滤波、EEMD相对系数法和改进EEMD法重构信号,计算4种不同状态下的分形盒维数折线图如图8所示。低通滤波和EEMD相关系数法重构信号的分形盒维数数值交错分布,缺乏



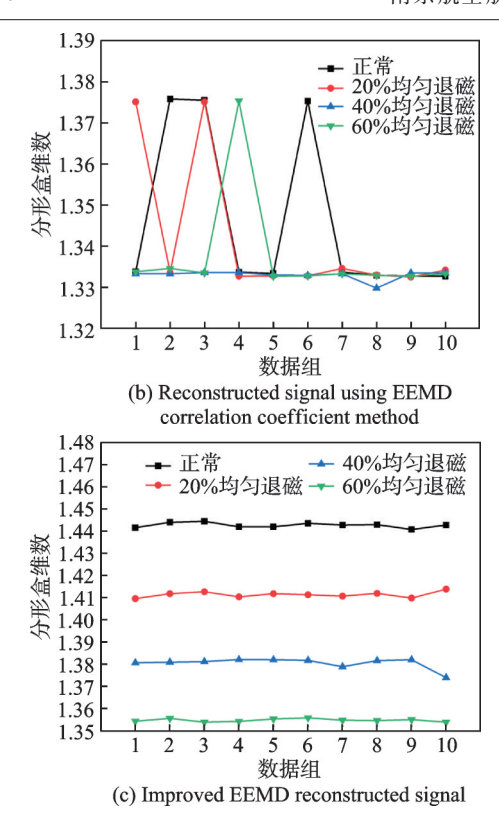


图 8 4 种状态信号的分形盒维数折线图 Fig.8 Line graph of fractal box-counting dimensions for four states

明确的数值范围。改进EEMD法重构信号的分形 盒维数在不同状态下的故障特征有明确的数值范 围,可以清晰的区分4种状态,证明了该方法可以 作为特征向量输入模型进行训练和分类识别。

基于PSO-SVM的故障诊断

3.1 PSO-SVM

永磁同步电机的均匀退磁故障分类模型要求 泛化能力强,准确率高,小样本下运算速度快。采 用PSO算法优化SVM模型的核函数和惩罚因子, 可提高分类模型的准确率。

学习样本数据为 $(x_i, y_i), x \in \mathbb{R}^d, y \in \{+1, -1\},$ SVM算法的目标函数和不等式约束如下

$$\begin{cases} \min_{\boldsymbol{w}, \boldsymbol{\xi}} \frac{1}{2} \|\boldsymbol{w}\|^2 + C \sum_{i=1}^n \boldsymbol{\xi}_i \\ \text{s.t. } y_i \geqslant \boldsymbol{w}^{\mathsf{T}} \cdot \boldsymbol{\varphi}(\boldsymbol{x}, \boldsymbol{x}_i) + b + \boldsymbol{\xi}_i \\ \boldsymbol{\xi}_i \geqslant 0 \quad i = 1, 2, \dots, n \end{cases}$$
(9)

式中:w为权重向量,C为惩罚因子, ε 为松弛因子, $\varphi(x_i)$ 为核函数,b为常量。核函数选取高斯径向 核函数

$$\varphi(x,x_i) = \exp\left(-\frac{\|x-x_i\|}{2\sigma^2}\right)$$
 (10)

其中 σ^2 为核函数宽度。PSO算法如下 $\mathbf{v}_{id}^{k+1} = \mathbf{v}_{id}^k + c_1 r_1^k (\mathbf{p}_{id}^k - \mathbf{x}_{id}^k) + c_2 r_2^k (\mathbf{g}_{id}^k - \mathbf{x}_{id}^k)$ (11)

$$x_{id}^{k+1} = x_{id}^{k} + v_{id}^{k+1} \quad d = 1, 2, 3, \cdots$$
 (12)
式中: i 、 d 和 k 分别为粒子数、粒子尺寸和迭代次

数; \mathbf{v}_{ii}^k 为粒子i的速度; \mathbf{x}_{ii}^k 为粒子i的位置; \mathbf{p}_{ii}^k 为粒 子i的最优位置; g_{id}^k 为全局最优位置; c_1 和 c_2 为学习 因子; r_1 和 r_2 为范围[0,1]范围内的随机数。

3.2 故障诊断模型

图 9 所示为针对永磁同步电机均匀退磁故障 设计的基于 PSO-SVM 算法的故障诊断模型。首 先,对原始的定子电流信号,利用改进EEMD算法 提取有效 IMF 分量。其次,基于 IMF 分量重构信 号计算分形盒维数,得到故障特征参数。最后,训 练PSO-SVM故障诊断模型,输入测试数据验证模 型准确性。

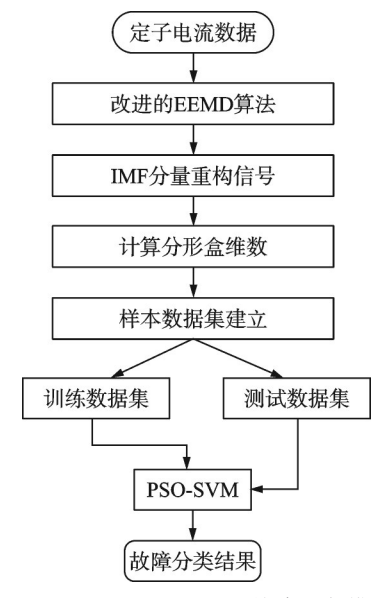


图 9 基于 PSO-SVM 的故障诊断模型

Fig.9 Fault diagnosis model based on PSO-SVM

实验和结果分析

4.1 仿真实验

对正常、20%退磁、40%退磁和60%退磁4种 状态进行仿真实验,每种状态进行60组实验。最 后共收集到240组故障特征样本。从每种状态中 选取36组数据,共计144组数据作为训练集,剩余 的96组数据作为测试集。利用数字1、2、3、4分别 标识正常、20%退磁、40%退磁和60%退磁这4种 电机运行状态,利用改进 EEMD 算法得到的分形 盒维数作为故障诊断的输入数据。图10为3种故 障诊断模型的测试结果,图 10(a)为采用阈值判别 法的诊断结果,以图 8(c)的每个状态平均值作为 特征中心,取相邻状态特征中心值的中间位置作为 分类阈值划分不同故障状态的范围,最终总体故障 诊断识别率为95.83%。图10(b)为标准SVM模 型的诊断结果,其总体故障诊断识别率为94.79%。 图 10(c)为 PSO-SVM 模型的诊断结果,其总体故障诊断识别率为 97.92%,显著高于标准 SVM 模型,表明 PSO 在 SVM 参数优化中的有效性。

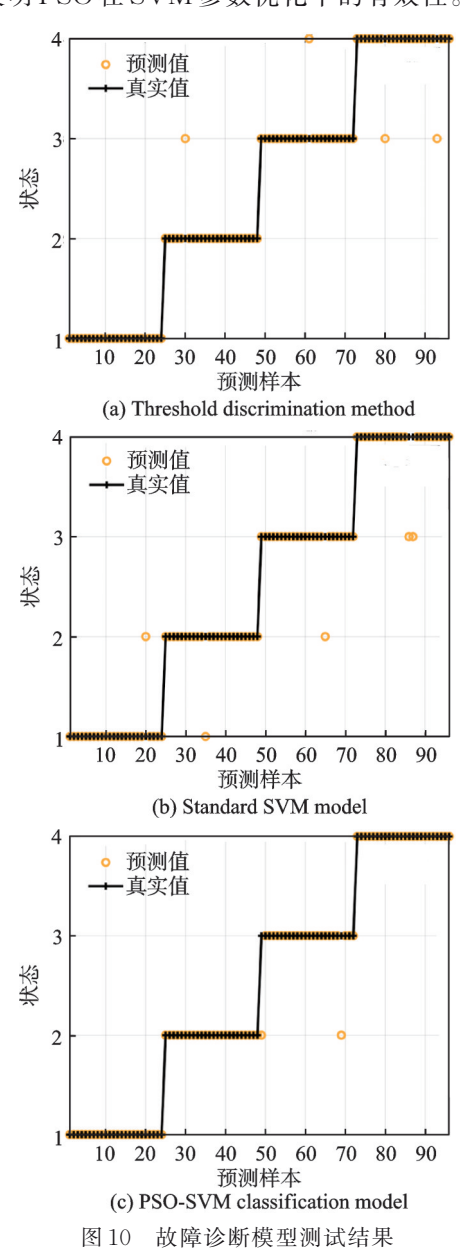
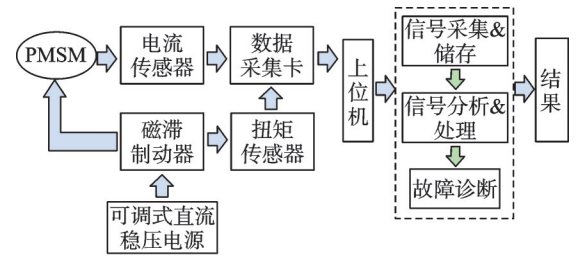


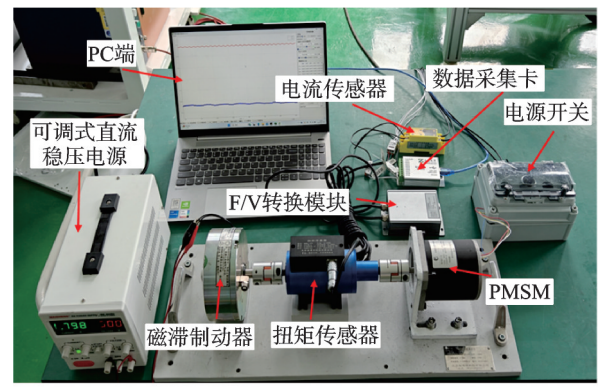
Fig.10 Fault diagnosis model test results

4.2 原型实验

搭载实验平台验证了所提出的永磁同步电机 均匀退磁故障诊断方法的有效性。实验平台如图11 所示,实验平台由实验样机磁滞制动器、扭矩传感器、电流传感器、数据采集卡和PC机等组成。具体 实验过程如下,将永磁同步电机内的永磁体取出,标记4个位置并测量原始磁感应强度,高温退磁后计算 不同位置的磁感应强度下降程度,得到不同均匀退 磁程度的永磁体,将均匀退磁后的永磁体放入永磁 同步电机内,最终成功得到20%、40%、60%不同程 度的均匀退磁故障,如表1所示。永磁同步电机通电 转动,控制磁滞制动器的电流大小改变负载扭矩,利 用数据采集卡采集电流传感器数据,PC机存储采集的数据,并进行均匀退磁故障诊断。



(a) Overall experimental system



(b) Experimental platform

图11 永磁同步电机均匀退磁故障诊断实验系统

Fig.11 Experimental system for PMSM uniform demagnetization fault diagnosis

表1 永磁体高温退磁实验数据

Table 1 Demagnetization data of permanent magnets at high temperature

| 组别 | | 1 | 2 | 3 |
|----------------|--------------|-------|----------|----------|
| 实验前磁场 强度/Gs | 方向1 | 1 390 | 1 367 | 1 416 |
| | 方向2 | 1 404 | 1 431 | 1 413 |
| | 方向3 | 1431 | 1 449 | 1 435 |
| | 方向4 | 1435 | $1\ 447$ | $1\ 454$ |
| | 平均 | 1 415 | 1 423.5 | 1 429.5 |
| 实验后磁场 强度/Gs | 方向1 | 1 153 | 815 | 580 |
| | 方向2 | 1 112 | 838 | 578 |
| | 方向3 | 1 136 | 833 | 581 |
| | 方向4 | 1 135 | 842 | 575 |
| | 平均 | 1 134 | 832 | 578.5 |
| 实验结果 | 实验结果 平均退磁率/% | | 41.55 | 59.5 |

4.2.1 与仿真结果的比较

采集的永磁同步电机正常状态定子电流如图 12 所示。电流波动较为稳定,表明电机在正常工作状态下运行平稳。与仿真信号相比,实际状态下的电机振动较大,导致电流的幅值振动相比仿真结果要大。这种现象的原因可以归结为多种原因,首先,仿真模型是对实际物理系统的简化,无法完全复现所有影响电机性能的因素。其次,实际电机在运行过程中受到各种外部干扰和内部因素影响,如机械振动、温度变化和电磁干扰等,这些因素在仿真中难以完全模拟。

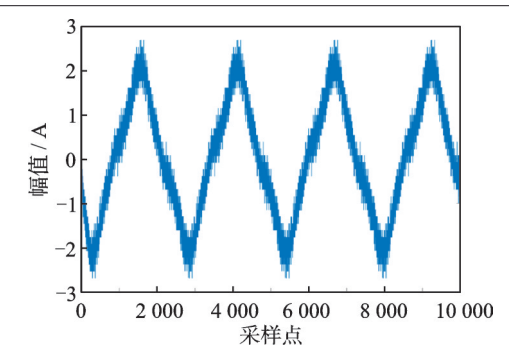
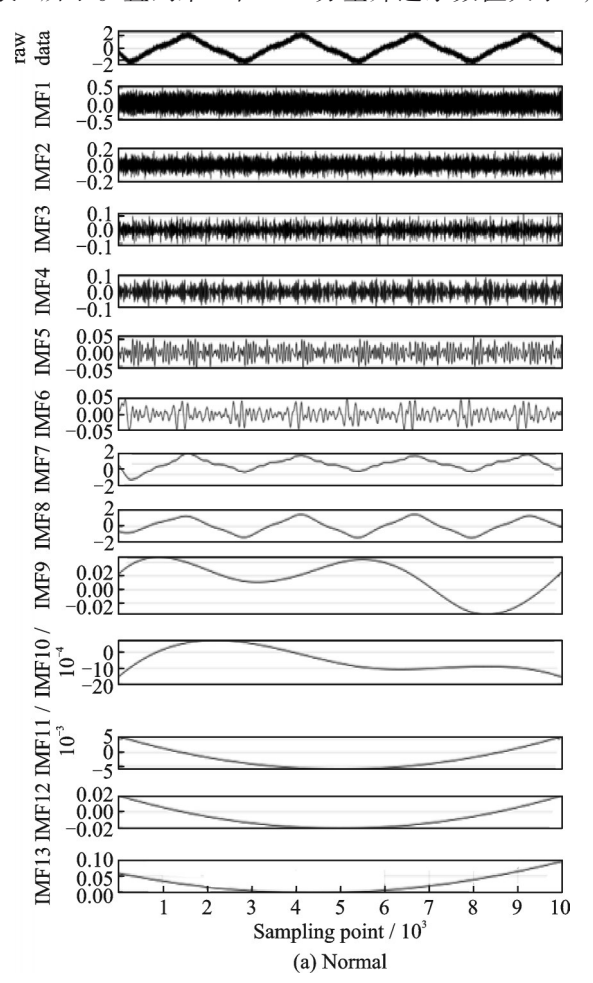


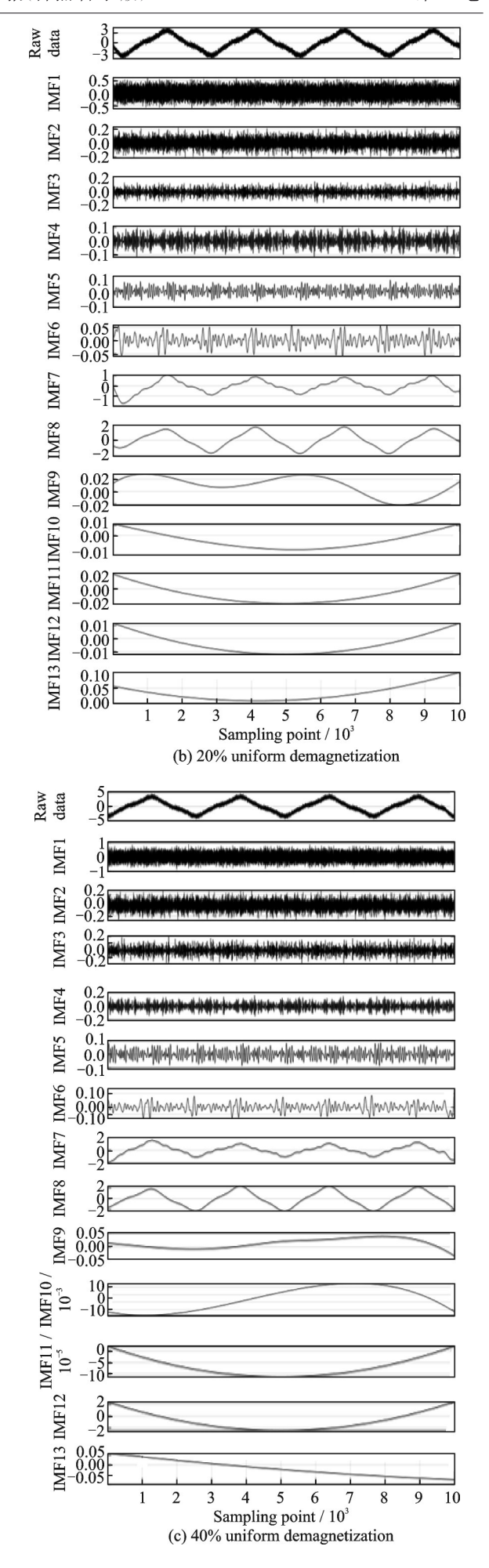
图 12 永磁同步电机正常状态下的定子电流信号 Fig.12 Stator current signal in normal condition of PMSM

4.2.2 均匀退磁故障诊断方法的实验验证

利用改进 EEMD 对正常、20% 退磁、40% 退磁 和 60% 退磁状态下采集的电流信号进行处理。选取参数为分解次数为 100,幅值为 0.2,整个分解过程中自适应地产生了 13 阶 IMF 分量,4 种状态的 IMF 分量图如图 13 所示。IMF 1~6 为 EEMD 分解后的高频趋势项,IMF7~13 为 EEMD 分解后的低频趋势项。

实验结果表明,随着均匀退磁程度的增大,电流幅值也随之增大。仅从IMF分量图中很难直接得到均匀退磁故障的特征参数,因此需对IMF分量进行自动筛选,计算得到的部分筛选系数结果如表2所示。直到第8个IMF分量筛选系数值大于1,





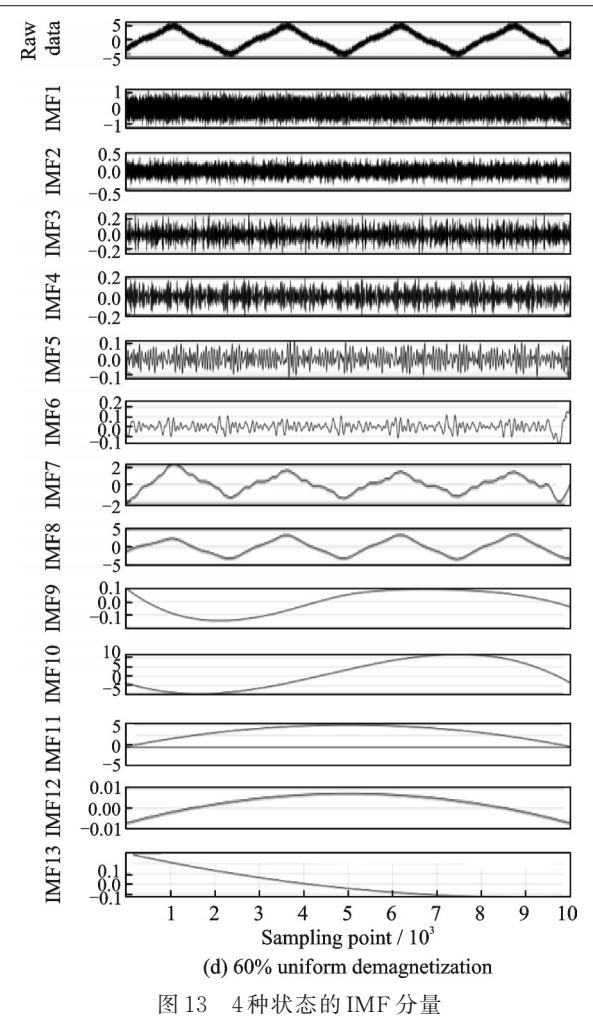


Fig.13 IMF components for four states

满足筛选要求,因此将 IMF1~7分量作为噪声去除,同时将残余项去除,对剩余的 IMF8~13 重构为新的信号。

表 2 实验数据的 IMF 分量部分筛选系数

Table 2 Partial screening coefficients of IMF components for experimental data

| 等级 | 均匀退磁程度 | | | | | |
|------|--------|--------|--------|--------|--|--|
| | 正常 | 20% | 40% | 60% | | |
| IMF1 | 0.999 | 0.999 | 0.999 | 0.999 | | |
| IMF2 | 0.999 | 0.999 | 0.995 | 0.970 | | |
| IMF3 | 0.998 | 0.994 | 0.985 | 0.991 | | |
| IMF4 | 0.991 | 0.998 | 0.993 | 0.992 | | |
| IMF5 | 1.000 | 1.000 | 1.000 | 1.000 | | |
| IMF6 | 1.000 | 1.000 | 1.000 | 1.000 | | |
| IMF7 | 0.274 | 0.275 | 0.476 | 0.454 | | |
| IMF8 | 10.515 | 10.522 | 11.463 | 11.022 | | |

选取改进 EEMD分形盒维数作为故障输入量,使用前文的阈值判别法,对测试样本进行分类,得到阈值判别法诊断结果如图 14 所示。使用 PSO-SVM模型对同样的输入量进行故障分类。对均匀退磁实验中的 300个测试样本进行测试,得到的 PSO-SVM

分类模型诊断结果如图 15所示。图中类别标签 1、2、3、4分别标识正常、20% 退磁、40% 退磁和 60% 退磁 4种状态,测试集样本各状态有 75组,共计 300组。4种状态的具体诊断结果如表 3所示。

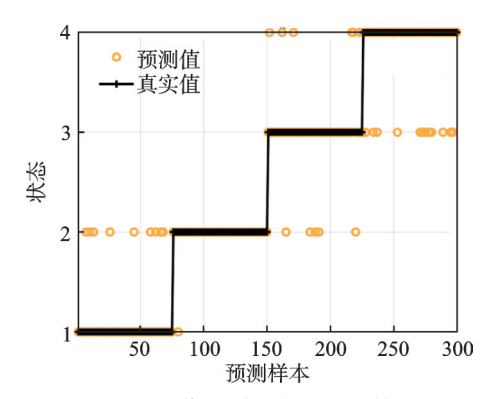


图 14 阈值判别法实验测试结果

Fig.14 Experimental test results of the threshold discrimination method

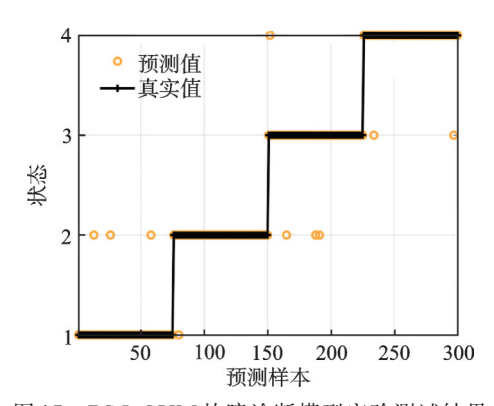


图 15 PSO-SVM 故障诊断模型实验测试结果

Fig.15 Experimental test results of PSO-SVM fault diagnosis model

表 3 改进 EEMD 分形盒维数 PSO-SVM 实验诊断结果
Table 3 Experimental diagnosis results of improved
EEMD fractal box-counting dimension and
PSO-SVM

| 类别 | 正常 | 20% 退磁 | 40% 退磁 | 60% 退磁 | 总计 |
|-------|-------|-----------|-----------|-----------|-------|
| 样本数/个 | 75 | 75 | 75 | 75 | 300 |
| 误判数/个 | 3 | 1 | 4 | 2 | 10 |
| 识别率/% | 96.00 | 98.67 | 94.67 | 97.33 | 96.67 |

國值判别法对4种状态的识别准确率仅为71.67%,由于这里采用的实验数据在特征分布上受转速波动、负载变化和电磁噪声等影响较大,分形盒维数的分布区间存在一定程度重叠。可见阈值判别法对复杂工况的适应性较弱,无法充分处理实验数据中可能存在的随机误差和测量偏差。PSO-SVM模型在4种状态的识别准确率均达到94%以上,证明了模型能够准确区分大部分的正常状态和均匀退磁故障状态,总体识别准确率达到

96.67%,证明了PSO-SVM模型在均匀退磁故障诊断中的有效性。

实验结果表明,改进的EEMD法可重构电流信号,有利于故障特征值的提取。分形盒维数可以清楚地区分电机不同状态的均匀退磁程度,PSO-SVM分类模型可以实现均匀退磁故障的高准确率诊断。综上所述,基于改进EEMD分形盒维数和PSO-SVM算法的故障诊断方法能够更准确识别均匀退磁故障。

5 结 论

本文研究了一种基于定子电流为故障特征信号的永磁同步电机均匀退磁故障诊断方法。改进的 EEMD 算法用于电流信号的降噪重构,计算重构信号的分形盒维数作为故障特征参数,结合 PSO-SVM 算法建立故障诊断模型,实现均匀退磁故障的诊断。对包括正常状态在内的4种电机状态,该方法能够准确识别均匀退磁程度。进行解析仿真实验和样机实验,最终故障总体识别准确率达到96.67%,结果验证了该方法能够准确识别永磁同步电机均匀退磁故障。

参考文献:

- [1] JIN X, ZHAO M, CHOW T W S, et al. Motor bearing fault diagnosis using trace ratio linear discriminant analysis[J]. IEEE Transactions on Industrial Electronics, 2014, 61(5): 2441-2451.
- [2] EBRAHIMI B M, JAVAN ROSHTKHARI M, FAIZ J, et al. Advanced eccentricity fault recognition in permanent magnet synchronous motors using stator current signature analysis [J]. IEEE Transactions on Industrial Electronics, 2014, 61(4): 2041-2052.
- [3] EBRAHIMI B M, FAIZ J, ROSHTKHARI M J. Static, dynamic, and mixed-eccentricity fault diagnoses in permanent-magnet synchronous motors[J]. IEEE Transactions on Industrial Electronics, 2009, 56 (11): 4727-4739.
- [4] 韩冰阳,鲍旭聪,王晓琳,等.基于正负序分离的无轴承永磁同步电机位置传感器容错控制[J].南京航空航天大学学报,2023,55(5):888-897.

 HAN Bingyang, BAO Xucong, WANG Xiaolin, et al. Fault-tolerant control of position sensor for bearingless permanent magnet synchronous motor based on separation of positive and negative sequence[J]. Journal of Nanjing University of Aeronautics & Astronautics, 2023, 55(5):888-897.
- [5] CHEN H, GAO C, SI J, et al. A novel method for diagnosing demagnetization fault in PMSM using toroidal-yoke-type search coil[J]. IEEE Transactions on Instrumentation and Measurement, 2022, 71: 1-12.

- [6] HUANG G, LI J, FUKUSHIMA E F, et al. An improved equivalent-input-disturbance approach for PMSM drive with demagnetization fault[J]. ISA Transactions, 2020, 105; 120-128.
- [7] ORVIZ M, LABORDA D F, REIGOSA D, et al. Demagnetization detection and severity assessment in PMSMs using search coils exploiting machine's symmetry[J]. IEEE Transactions on Industry Applications, 2023, 59(4): 4021-4034.
- [8] 徐政,张建忠,姜永将,等.基于高频信号注入的永磁同步电机局部退磁故障诊断研究[J].中国电机工程学报,2024,45(8): 3205-3214.

 XU Zheng, ZHANG Jianzhong, JIANG Yongjiang, et al. Detection of local demagnetization in permanent magnet synchronous machine based on high frequency

signal injection[J]. Proceedings of the CSEE, 2024,

[9] MOON S, JEONG H, LEE H, et al. Detection and classification of demagnetization and interturn short faults of IPMSMs[J]. IEEE Transactions on Industrial Electronics, 2017, 64(12): 9433-9441.

45(8): 3205-3214.

- [10] 李忠海,曹洋,邢晓红.基于Maxwell2D和Simplorer的永磁同步电机退磁模型设计[J].火力与指挥控制,2016,41(7):135-139.

 LI Zhonghai, CAO Yang, XING Xiaohong. Demagnetization model design of PMSM based on maxwell 2D and simplorer[J]. Fire Control & Command Control, 2016,41(7):135-139.
- [11] 膝青芳, 崔宏伟. 基于 ESO 的 PMSM 驱动系统单相 电流传感器模型预测转矩控制[J]. 太阳能学报, 2020, 41(9): 129-138. TENG Qingfang, CUI Hongwei. Model predictive torque control of PMSM drive system with single-phase current sensor based on ESO[J]. Acta
- [12] DING S, HANG J, LI H, et al. Demagnetisation fault detection in PMSM using zero sequence current components[J]. Electronics Letters, 2017, 53(3): 148-150.

Energiae Solaris Sinica, 2020, 41(9): 129-138.

- [13] GHERABI Z, TOUMI D, BENOUZZA N, et al. Discrimination between demagnetization and eccentricity faults in PMSMs using real and imaginary components of stator current spectral analysis[J]. Journal of Power Electronics, 2021, 21(1): 153-163.
- [14] HONG J, HYUN D, LEES B, et al. Automated monitoring of magnet quality for permanent-magnet synchronous motors at standstill[J]. IEEE Transactions on Industry Applications, 2010, 46(4): 1397-1405.
- [15] MELECIO J I, DJUROVIĆ S, SCHOFIELD N. FEA model study of spectral signature patterns of PM demagnetisation faults in synchronous PM machines [J]. The Journal of Engineering, 2019, 2019(17): 4127-4132.
- [16] LIU Z, HUANG J, LI B. Diagnosing and distinguish-

- ing rotor eccentricity from partial demagnetisation of interior PMSM based on fluctuation of high-frequency *d*-axis inductance and rotor flux[J]. IET Electric Power Applications, 2017, 11(7): 1265-1275.
- [17] QUINTAL-PALOMO R E, FLOTA-BANUELOS M, BASSAM A, et al. Post-fault demagnetization of a PMSG under field oriented control operation[J]. IEEE Access, 2021, 9: 53838-53848.
- [18] 丁石川,何旺,杭俊,等.基于径向气隙磁密和定子电流的永磁同步电机均匀退磁故障诊断研究[J].中国电机工程学报,2024,44(1):332-341.
 DING Shichuan, HE Wang, HANG Jun, et al. Uniform demagnetization fault diagnosis for PMSM based on radial air-gap flux density and stator current[J]. Proceedings of the CSEE, 2024, 44(1):332-341.
- [19] URRESTY J C, RIBA J R, ROMERAL L. A back-EMF based method to detect magnet failures in PMSMs[J]. IEEE Transactions on Magnetics, 2013, 49(1): 591-598.
- [20] URRESTY JC, RIBA JR, ROMERAL L. Application of the zero-sequence voltage component to detect stator winding inter-turn faults in PMSMs[J]. Electric Power Systems Research, 2012, 89: 38-44.
- [21] URRESTY J C, RIBA J R, DELGADO M, et al. Detection of demagnetization faults in surface-mounted permanent magnet synchronous motors by means of the zero-sequence voltage component[J]. IEEE Transactions on Energy Conversion, 2012, 27(1): 42-51.
- [22] HADDAD R Z, STRANGAS E G. On the Accuracy of fault detection and separation in permanent magnet synchronous machines using MCSA/MVSA and LDA [J]. IEEE Transactions on Energy Conversion, 2016, 31(3): 924-934.
- [23] EBRAHIMI B M, FAIZ J. Feature extraction for short-circuit fault detection in permanent-magnet synchronous motors using stator-current monitoring[J]. IEEE Transactions on Power Electronics, 2010, 25 (10): 2673-2682.
- [24] AHMED FAROOQ J, DJERDIR A, MIRAOUI A. Identification of demagnetization faults in a permanent magnet synchronous machine by permeance network [J]. COMPEL—The International Journal for Computation and Mathematics in Electrical and Electronic Engineering, 2009, 28(6): 1619-1631.
- [25] LEE Y S, KIM K T, HUR J. Finite-element analysis of the demagnetization of IPM-Type BLDC motor with stator turn fault[J]. IEEE Transactions on Magnetics, 2014, 50(2): 889-892.
- [26] HOLAKOOIE M H, OJAGHI M, TAHERI A. Full-order Luenberger observer based on fuzzy-logic control for sensorless field-oriented control of a single-sided linear induction motor[J]. ISA Transactions,

- 2016, 60: 96-108.
- [27] CHEN Y, LIANG S, LI W, et al. Faults and diagnosis methods of permanent magnet synchronous motors: A review[J]. Applied Sciences, 2019, 9(10): 2116.
- [28] YANG Z, SHI X, KRISHNAMURTHY M. Vibration monitoring of PM synchronous machine with partial demagnetization and inter-turn short circuit faults [C]//Proceedings of 2014 IEEE Transportation Electrification Conference and Expo (ITEC). Dearborn, MI: IEEE, 2014: 1-6.
- [29] ORLOWSKA-KOWALSKA T, WOLKIEWICZ M, PIETRZAK P, et al. Fault diagnosis and fault-tolerant control of PMSM drives-state of the art and future challenges[J]. IEEE Access, 2022, 10: 59979-60024.
- [30] EKER M, GÜNDOGAN B. Demagnetization fault detection of permanent magnet synchronous motor with convolutional neural network[J]. Electrical Engineering, 2023, 105(3): 1695-1708.
- [31] DELGADO P M, GARCIA E A, RIBA R J, et al. Feature extraction of demagnetization faults in permanent-magnet synchronous motors based on box-counting fractal dimension[J]. IEEE Transactions on Industrial Electronics, 2011, 58(5): 1594-1605.
- [32] CHANG L K, WANG S H, TSAI M C. Demagnetization fault diagnosis of a PMSM using auto-encoder and K-means clustering[J]. Energies, 2020, 13(17): 4467.
- [33] SONG X, ZHAO J, SONG J, et al. Local demagnetization fault recognition of permanent magnet synchronous linear motor based on S-transform and PSO-LSS-VM[J]. IEEE Transactions on Power Electronics, 2020, 35(8): 7816-7825.
- [34] ULLAH Z, LODHI B A, HUR J. Detection and identification of demagnetization and bearing faults in PMSM using transfer learning-based VGG[J]. Energies, 2020, 13(15): 3834.
- [35] HUANG F, ZHANG X, QIN G, et al. Demagnetization fault diagnosis of permanent magnet synchronous motors using magnetic leakage signals[J]. IEEE Transactions on Industrial Informatics, 2023, 19(4): 6105-6116.
- [36] WANG S, YANG Z, ZHENG X, et al. Analysis of complex time series based on EEMD energy entropy plane[J]. Chaos, Solitons & Fractals, 2024, 182: 114866
- [37] 陈仁祥, 汤宝平, 马婧华. 基于 EEMD 的振动信号自适应降噪方法[J]. 振动与冲击, 2012, 31(15): 82-86. CHEN Renxiang, TANG Baoping, MA Jinghua. Adaptive de-noising method based on ensemble empirical mode decomposition for vibration signal[J]. Journal of Vibration and Shock, 2012, 31(15): 82-86.